



三维激光扫描技术在 北京琉璃河大桥灾后的应用

曹春利 张涛

文化遗产保护已从抢救性保护转向预防性保护。快 速发展的数字化技术成为国内外预防性保护的重要手 段,常态化监测也推动了其应用日益成熟。构建本体数字 化孪生模型是典型应用之一,常采用三维激光扫描技术。 该技术通过激光反馈生成点云模型,精确记录结构现状, 并借助剖面分析等手段,实现对文化遗产的数字化测量 与结构安全评估,具有无损、高效、高精度的优势。

频发的自然气候紧急状况,为文化遗产数字化带来 新挑战。2023年7月,北京房山区遭受强暴雨极端天气袭 击,引发洪水灾害,导致琉璃河大桥栏板及周边驳岸损 毁,桥体周边发生淤积现象(图1)。

为满足预防性保护需求、发挥日常监测作用并支撑 后续抢险修缮设计,作者所在团队对琉璃河大桥进行了 结构检测与技术状况评定。借助三维激光扫描技术,建立 了桥梁数字孪生模型,获取了关键数据。本文基于扫描数 据,对比分析水灾前后关键部位变形情况,评估灾损程 度,以期为修缮工作提供依据。

琉璃河大桥位于北京市房山区琉璃河镇,呈南北向 横跨琉璃河,始建于1539年(明嘉靖十八年),建成于1546 年(嘉靖二十五年),历经5次大修,1999年其西侧一座钢 筋混凝土公路桥建成通车,不再承担道路通行任务。后经 历史原貌恢复性修缮,大桥于2013年列入第七批全国重 点文物保护单位。

琉璃河大桥为十一孔石拱桥,是北京市第二大石拱 桥,规模仅次于卢沟桥,桥长189米,跨中宽10.4米;两侧 有节间式石栏,各有望柱88根,栏板87块,两端置抱鼓石; 桥堍和桥面上铺砌花岗岩石板,桥面略成正圆弧形,局部 凹凸不平; 拱券为半圆形纵联式结构, 由14道拱碹石和1 道龙门碹石构成;侧墙、翼墙由花岗岩和青石板砌筑;桥 台为雁翅型,雁翅以外皆有石砌泊岸;有桥墩10座,平面 呈平底船形,西侧上游端为船头状分水尖,东侧下游端为 船尾状。琉璃河大桥共有11个券洞,由北至南依次编号北 1、北2、北3、北4、北5、中券、南5、南4、南3、南2、南1。

大桥数据采集设备为Faro Focus S350三维激光扫描 仪,扫描速度为122000pts/s;测距误差可控制在±1毫米; 扫描成像为彩色;激光等级为1级安全激光;视野范围为 纵向300°、横向360°。

三维激光扫描仪采集桥梁整体数据,覆盖桥面、桥身 及拱圈。受现场条件限制,桥面与拱圈结构不通视,需通 过点云拼接整合各测站数据。桥面数据可直接设站于桥 面获取,桥身及拱圈数据通过将测站设于施工脚手架上 获取。为确保拼接所需特征点充足,依据现场实际,现场 扫描设站间隔定为5米,共设置121站,其中桥面41站,东 西两侧桥身及拱圈各40站。

点云数据经配准、降噪和抽稀处理后,最终点云的平 均拼接误差为1.8毫米,最大误差为7.1毫米,符合标准规 定的工作精度指标要求,能够满足后期分析需要的精度 规格。随后,经纹理映射、模型拼接、修补、光滑及检验等 处理,形成最终的三维点云模型。

分析方法采用整体分析与单点分析相结合的方式进 行。单点分析方法选取5个特征点(A~E点)的坐标数据。其 中A点和B点数据用于判断各拱圈顶部相对下沉变形状 况;C点、D点和E点数据用于判断各侧墙歪闪状况(图2)。

拱圈变形的单点分析主要考察指标为拱圈顶部相对 沉降量,提取11个拱圈的A点和B点竖向(z)数据进行对 比分析。由结果可知,拱圈顶部东西两端高差最大处出现 在北5券,高差为0.162米,其次北3券、中券、南4券拱圈

拱圈变形的整体分析主要考察指标为拱圈形状,对 比标准为参照曲面,其是根据拱圈断面点云数据拟合出

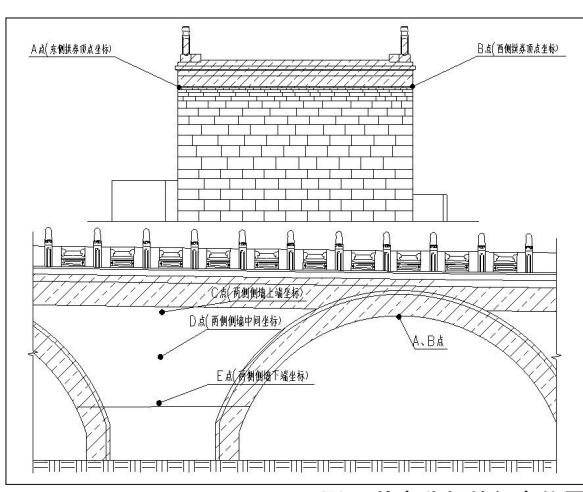


图2 单点分析特征点位置



的标准弧线沿圈洞方向拉伸生成的标准弧面。分割拱圈 点云以便于直观分析,与参照曲面进行拱圈3D变形对比 分析(图3)。

分析结果显示,拱圈整体变形在±0.3米内,北5券东 西两侧、南3券东侧、南2券东侧等局部区域变形超过0.1 米。相对于参考面,50.6%的数据偏差在0.02米以内, 85.5%的数据偏差在0.055米以内,考虑到拱桥材料及构 造偏差,可认为这些区域基本无变形。综合单点及整体 分析结果,表明拱券整体结构完整,受力状况良好,未发

桥身变形分为东侧桥身变形和西侧桥身变形。根据 桥身实测数据进行点云均化,拟合形成桥身二维平面作 为桥身变形的参照基准。分别取桥洞之间的C点、D点和 E点进行偏差标注,分析桥身整体变形趋势(图4)。

由结果可知,东侧桥身最大偏差为±0.2米,整体呈中 间内凹两侧外凸趋势,其中内凹部分最大为0.192米,外凸 部分最大为0.138米;西侧桥身最大偏差为±0.3米,整体 呈中间外凸两侧内凹趋势,其中内凹部分最大为0.028米, 外凸部分最大为0.237米。综合可知,桥身结构完整,整体 变形呈西凸东凹趋势,桥身变形值较小。

根据桥面实测数据进行点云均化,拟合形成桥面空 间曲面作为桥面变形的参照基准。分别取桥面均匀分布 的点位进行偏差标注,分析桥面整体变形趋势。

由结果可知,桥面存在较小变形,最大偏差为±0.3 米,桥面中部略有凹陷,桥面北部略有凸起;参照弧形桥 面分析沉降状况,其表面起伏在+0.2~-0.3米之间,考虑桥 面铺设石块起伏误差,桥面本身相对于理论拟合曲面的 偏差为±0.1米。

现场脚手架遮挡面积较大,且部分栏板与望柱处在 维修状态,为保证分析的完整性,以桥面俯视为基础,将 桥体东西两侧栏板与望柱区域分别视作一个整体,再以 桥头桥尾两端为基准延伸形成参照平面,与两侧栏板望 柱进行对比分析。由于桥体外侧有脚手架,故分析工作选 取栏板与望柱的内侧进行。东西两侧栏板与望柱分别自 南向北对照现状平面图进行分组编号。对现存栏板与望 柱共计进行94次歪闪测试。

由结果可知,对于东侧,栏板向西(内侧)偏移数量为 42块,望柱向西(内侧)偏移数量为47根,栏板向东(外侧) 偏移数量为17块,望柱向东(外侧)偏移数量为13根;对于 西侧, 栏板向东(内侧) 偏移数量为24块, 向西(外侧) 偏移 数量为23块,望柱向东(内侧)偏移数量为34根,局部向西 (外侧)偏移数量为13根。综合分析表明,除局部有消防或 建材设施遮挡,东西侧栏板与望柱均有向内外两侧偏移的 趋势,偏移量多集中在0.05米左右,最大偏移量约为0.2米; 东侧栏板与望柱总体偏移量大于西侧;东侧栏板与望柱多 向西(内侧)偏移,西侧栏板与望柱多向东(内侧)偏移。

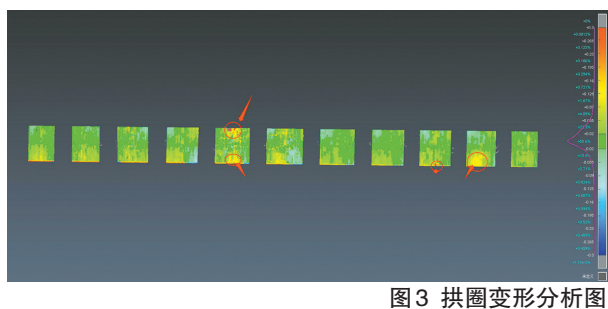
基于三维激光扫描技术对琉璃河大桥的灾后评估表 明,本次洪水灾害虽对桥体局部构件造成损毁,但主体结 构整体保持稳定。拱券变形可控、桥身位移量值有限、桥 面沉降处于安全阈值内,大桥仍具备良好的结构完整性。 栏板与望柱的偏移现象虽较显著,但属可修复范畴。本研 究通过高精度数字化手段,不仅精准量化了灾损程度,为 针对性修缮提供了科学依据,更验证了三维激光扫描技 术在文化遗产应急评估与预防性监测中的关键价值—— 无损、高效、高精度。

数字化技术不仅能有效支撑灾后评估与修复,更能 通过积累历史数据构建文物健康档案,为应对未来气候 风险提供预警基础。建议进一步推广三维扫描等数字技 术在文保领域的系统化应用,将单次灾损评估转化为持 续性的结构状态追踪,最终形成"监测-预警-评估-干 预"的闭环保护机制,全面提升文化遗产在气候变化背景 下的韧性。

(作者单位:北京市考古研究院)



图 1 琉璃河大桥受灾情况



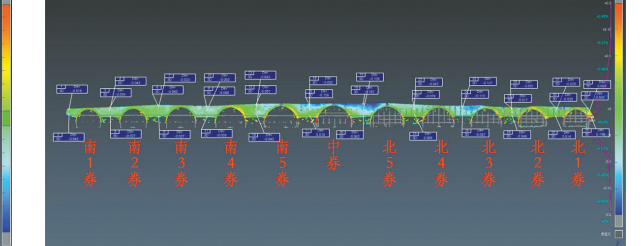


图 4 桥身变形分析图

长沙风篷岭汉墓 出土琉璃片的保护修复

蒋成光 黄昭瑜 傅晨星 唐小红 王英

长沙风篷岭汉墓于2006年进行考古发掘,是一座带墓道 的大型竖穴岩坑木椁墓,墓主为西汉长沙国刺王刘建至缪王刘 鲁间某位长沙王的王后,其姓张。墓中出土了大量漆木器、铜器 和金饼等文物,其中在中列后室西北部出土了一批带孔玉片, 部分孔中残留金缕。由于以往考古报告中多将带有穿孔的玉片 认定为玉衣片,故该考古发掘简报中也将其定名为"玉衣片" 从以往考古出土的情况来看,玉衣片的质料,除玉质外,有石质 的,也有用琉璃片作代用品的。随着江西南昌海昏侯墓、青岛土 山屯汉墓M147、尹湾汉墓 M9等考古发掘资料的公布,这些 墓葬都出土了大量相似文物,经过科学检测,属于琉璃材质。那 么该批玉衣片究竟是玉石制成还是琉璃制成?是衣片、席片还 是温明片?我们选取样品,开展了科学检测,经检测其材质为铅 钡玻璃体系,该批"玉衣片"应称为琉璃片,并对其进行了保护 修复,最大限度还原文物原貌。

考古现场提取

由于墓葬坍塌及两次被盗,琉璃片出土时大量无序堆积在 一起,无完整器型,断裂、风化和酥粉等病害严重。为减少保存 环境骤变给文物带来的影响,考古人员在快速清理琉璃片上部 泥土,露出上层残片,开展拍照、绘图等资料采集后,分别将零 散或归属清晰的琉璃残片单独提取编号;成堆难以区分归属的 残片,连同周边泥土进行整体提取。室内保护提取残片共计编 号31组,残片数量六百余块,并清理出近四百张金箔片和少量 金缕、云母薄片。

科学检测分析

显微结构分析:利用超景深三维立体数码显微系统(Hirox,KH-1300M)对样品表面进行显微观察。样品表面反光明 显,有镜面感,存在大量气泡,这是琉璃制品的特征。气泡的形 成是铸造工艺引起的,常见于压模法,结合琉璃片有纹饰的一 面及四边光滑、另一面暗淡无光的现象,可以看出采用的是单 面压模法的工艺。随后我们采用 EDAX 扫描电镜能谱仪 (TEM, Octane SDD)观察样品形貌,样品表面在电镜下显示 为无规则结晶结构,是均质的连续相,无明确晶界,这符合玻璃 结构。这与玉石有很大区别,玉石的结晶在电镜下可见纤维交 织结构,晶体呈细长纤维状紧密排列,晶界清晰

物相分析:将选取的3件样品采用X射线衍射仪(Rigaku, TTR-Ⅲ)检测,显示物相均为玻璃,且有白铅矿、石英和重晶 石等物相。其中白铅矿的成分是碳酸铅,属于风化产物,石英和 重晶石是琉璃中含的未完全熔融的原料或析出的物质。

成分分析:将选取的5个样品采用 X 射线荧光光谱仪进行 成分分析,结果显示琉璃片中不同点测的各物质的数据较为稳 定,符合铅钡玻璃体系。成分中SiO2含量最高,为82.25%~ 91.96%之间, PbO和BaO的含量都很低, BaO为1.55%~ 6.55%, PbO 为 3.20%~8.47%, 属于低铅玻璃。且 BaO 和 SO3 含 量的比值符合重晶石的特征,结合物相分析,重晶石是铅钡玻 璃的主要助熔剂,所含BaO可以形成钡的硅酸盐析晶,还能使 玻璃出现乳浊达到玉质的乳白色。

金缕工艺分析

与琉璃片一起出土了散落的金缕,且部分琉璃片穿孔中还 有金缕残留。古代金缕的加工使用掐丝工艺,是将黄金锤锻成 薄片,再切割成细丝,通过反复拉丝、搓捻等工艺制成均匀的金 线。随后根据需求,将金线分段裁剪为"金缕",截面形状有圆 形、扁圆形和多根组合体。但风篷岭汉墓出土金缕与此不同,金 缕为长条圆形,粗0.95毫米,金缕上存在一条纵向断面,且平 直,沿断面将金缕平展开,发现金缕非拉丝或搓捻而成,而是由 一片长条形宽4.5毫米的金箔片卷成,金箔片厚5.3~7.4微米。 金缕中间残留有细长型黑色物质残留,残留已糟朽,但质轻、颜 色较纯,应属有机物的腐蚀物,结合金缕捆绑琉璃片的作用和 古代金线制作工艺,该金缕中的物质应为线绳。由此可推断该 金缕的制作工艺为:首先将黄金锤锻成薄片,再切割成长条形, 最后将金箔片包裹于线绳之上,形成圆形金缕。

保护修复

该批琉璃片病害主要有残缺、断裂、风化、泥垢附着、变色、 金箔片脱落与变形等。其中残碎严重,共有残片六百余块,每组 编号包含有数块至百余块不等残片;表面严重风化,多有酥粉, 残片强度较低。金箔片未腐蚀,多数呈金黄色,仍保留有较好的 韧性,可进行清洗和整形。文物保护人员先后进行了三次保护 修复,其技术路线为:

编号内拼接:将同组编号的碎片平铺,纹饰面朝上。依据厚 度和颜色对碎片进行分类拼接。拼接的顺序首先是识别边缘和 四角的碎片,依据残留的纹饰确定碎片的相对位置,逐片进行 茬口的比对。

粘接:采用手术刀、竹刀等工具仔细清除茬口处的泥土、硬 结物等杂质,以降低粘接后可能产生的缝隙。泥土及硬结物粘 附牢固,颜色与琉璃片的米黄色相近,茬口风化程度较高,强度 较低,因此在清除过程中需谨慎辨别,必要时借助放大镜进行 精确剔除。随后调配环氧树脂胶粘接。

跨编号拼接:打破编号的限制,将墓葬出土的所有琉璃残 片进行了广泛而系统的跨编号拼接。首先,依据纹饰、边缘、中 心等特征对琉璃残片进行分类整理,并统一摆放。随后,依据茬 口、颜色、厚度及色泽等特征,逐一进行细致的拼对。在拼对过 程中,发现部分残片虽源自同一琉璃片,但颜色和风化程度存 在显著差异。因此,在后续拼对过程中,色泽特征被排除在拼对 判断要素之外。经过数月,261块琉璃残片得以成功拼对,绝大 多数残片是跨越不同编号拼对成功的。

表面清理:琉璃片遭受严重风化,孔隙丰富且强度较低,表 现出较高的渗透性。应避免使用水洗或化学试剂软化,以防止 污染物渗透至文物内部,从而引发二次污染。遵循最小干预原 则,使用蘸水潮湿的棉签,擦拭表面不牢固的泥土及污染物;对 于粘接牢固的污染物,则使用竹刀小心剔除,尽可能呈现出琉 璃片的原貌。

金箔片清洗和整形:琉璃片曾贴有大量金箔片,但目前大 多数已经脱落或残缺。脱落的金箔片数量多,质地轻薄,沾满泥 土且严重变形,边角卷曲、褶皱,甚至扭成麻花状,需要对其进 行清洗和整形。在放大镜下,利用水粉笔对卷曲的金箔片进行 按压固定,用小竹刀轻柔地拨开褶皱或卷曲部分,适度施加压 力或借助小镊子进行轻微拉伸。通过整形,将严重变形的金箔 片整形至基本展平状态,随后进行清洗,金箔片恢复了其金黄



琉璃片出土时





三角形金箔整形 前(左)、后(右)

菱形金箔整形前 (左)、后(右)

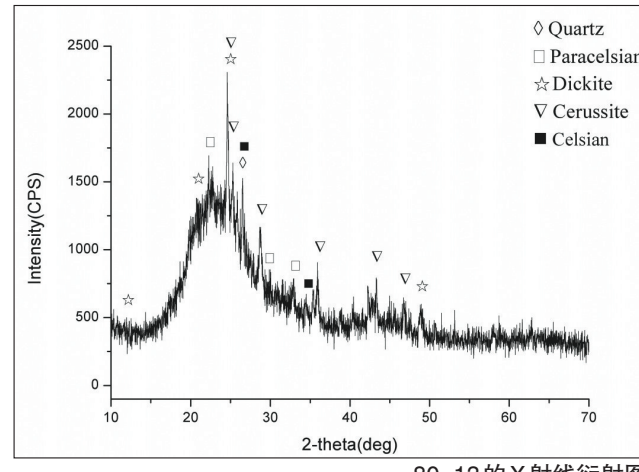






找出80-23残片

80-23保护修复后



80-13的 X 射线衍射图



80-9保护修复后

色的光泽和原始外观。据统计,完成整形清洗的金箔片共四百 余片,其形状多样,包括三角形、菱形、长条形和梯形等。

金箔片回贴:研究琉璃片凹槽中残留的金箔片,发现金箔 片的形状和尺寸与凹槽并不完全匹配,是由多个简单形状的金 箔片通过组合拼接而成,如多个凹槽中由2~3张几何形金箔 片组合而成,"瓜子"形状凹槽仅粘贴了一张长方形金箔片,金 箔片未根据凹槽的形状进行裁剪,且留有较大空白区域未被覆 盖。基于这些特征,我们对金箔片进行了分类,按照组合规律逐 一进行回贴。在金箔片背面涂覆胶粘剂(丙烯酸乳胶 Primal SF016)后,使用镊子将其精确地贴合于凹槽内,并通过适度施 压,利用胶粘剂的固有黏性,实现对轻微变形金箔片的平整粘 贴。在保护修复过程中,全程佩戴防护口罩,以避免呼吸气流导 致金箔片位移。鉴于金箔片残缺较多且数量有限,仅对四种类 型中较为完整的七件琉璃片进行了金箔片的回帖,共计回帖金 箔片约两百张。

通过科学检测,确定了"玉衣片"的材质为琉璃,且采用单 面压模法制作,助溶剂是重晶石,风化产物为碳酸铅。新发现金 缕由长条形金箔片包卷线绳而成。经保护修复,成功拼对残片 261块,回贴金箔片近两百张,最大限度再现了琉璃片的原状。 经分类整理,共有琉璃片7种类型38件,其形制多样,有方形、 菱形等。无孔琉璃片10件,其余为有孔,数量最多的一类米黄 色长方形琉璃片,长5.7、宽4.5、厚0.3cm,一面平整,另一面有 纹饰,四角单面钻喇叭状穿孔,孔壁向内收敛。琉璃片凹槽中镶 嵌了金箔片和云母片装饰,纹饰精美,制作工艺精湛。该保护修 复工作不仅为该批文物的分类和价值评估增加了科学依据,同 时也为汉代玉文化、金缕制作工艺以及汉长沙国相关研究领域 提供了新的实物资料,还可为考古发掘出土散乱分布、严重残 碎的文物提供保护修复技术参考。

(作者单位:长沙市文物考古研究所)